

<b>Δελτίο Ελληνικής Γεωλογικής Εταιρίας</b> <i>Bulletin of the Geological Society of Greece</i>	<b>Τόμ.</b> <i>Vol.</i>	<b>σελ.</b> <i>pag.</i>	<b>Αθήνα</b> <i>Athens</i>
			<b>1990</b>

## **ΤΕΚΤΟΝΙΚΗ ΑΝΑΛΥΣΗ ΤΟΥ ΓΕΩΘΕΡΜΙΚΟΥ ΠΕΔΙΟΥ ΤΗΣ ΝΗΣΟΥ ΜΗΛΟΥ\***

**Δ. Παπανικολάου, Ε. Λέκκας & Δ. Συσκάκης<sup>1</sup>**

### **ABSTRACT**

Detailed geological and tectonic mapping of Milos island has been carried out at scales 1/10.000 and 1/25.000, aiming to clarify the structure and development of the geothermal field. This study showed the existence of neotectonic blocks, each characterized by the exclusive or dominant occurrences of certain stratigraphic formations and the absence of others due to non-deposition or to erosion or the preferential development over horst or graben areas throughout the neotectonic history. The presence or absence of each stratigraphic formation together with its thickness variations and its chrono-stratigraphy permitted a qualitative evaluation of the kinematics of the marginal faults of the neotectonic blocks. The kinematic analysis showed the existence of different motions in the various blocks during neotectonic history. The resulting overall neotectonic structure is characterized by a complex mosaic of neotectonic units, which alternate in space and time in the forms of tectonic uplift, subsidence or tilt. The major structure is the Milos Bay – Fyriplaka graben in the WW-SE direction, which intersects the structures of Western and Eastern Milos. The overall structure is not the result of successive deformation phases acting uniformly on Milos but instead there is a geographically variated activation of neotectonic structures during different time spans. The circulation of the geothermal fluids follows the main marginal faults of the neotectonic blocks with general movement from SSE to NNW above the crest of the anticline of the metamorphic basement which is probably overlying the magmatic chamber.

### **ΠΕΡΙΛΗΨΗ**

Η λεπτομερής χαρτογράφωση των γεωλογικών και τεκτονικών δομών της νήσου Μήλου σε κλίμακες 1/10.000 και 1/25.000 έδειξε την ύπαρξη νεοτεκτονικών ρηξιτεμάχων τα οποία χαρακτηρίζονται από την αποκλειστική ή κυρίαρχη ανάπτυξη ορισμένων σχηματισμών της Μήλου. Η παρουσία ή μη και το πάχος των σχηματισμών σε συνδυασμό με την πλικιά καθενός, επέτρεψε την ποιοτική εκτίμηση της κινηματικής των ρηγμάτων που οριοθετούν τα νεοτεκτονικά ρηξιτεμάχη. Η κινηματική ανάλυση έδειξε διαφορετικές κινήσεις σε διάφορα ρηξιτεμάχη κατά τη νεοτεκτονική εξέλιξη. Η προκύπτουσα συνολική τεκτονική δομή χαρακτηρίζεται σαν μια πολύπλοκη δομή από νεοτεκτονικές ενόπτες που διαδέχονται στο χώρο μορφές τεκτονικών τάφρων – κεράτων – περιστροφών. Κυρίαρχη δομή είναι η τάφρος του όρμου Μήλου – Φυριπλάκας με διεύθυνση

\* Papanikolaou, D., Lekkas, E. & Syskakis, D.- Tectonic analysis of the Milos geothermal field.

<sup>1</sup> University of Athens, Dept. of Geology, Panepistimioupoli, Zografou, 15784, Athens, Greece.  
(Ανακοινώθηκε κατά την Επιστημονική Συνεδρία της 18/5/1989).

NW-SE, που διακόπτει τη συνέχεια των δομών της Δυτικής και Ανατολικής Μήλου. Η όλη εικόνα δείχνει ότι η συνοδική δομή δεν είναι το αποτέλεσμα διαδοχικών παραμορφωτικών φάσεων που έδρασαν ενιαία στη Μήλο αλλά μια εκλεκτική γεωγραφικά ενεργοποίηση δομών κατά συγκεκριμένα χρονικά διαστήματα. Η κυκλοφορία των γεωθερμικών ρευστών ακολουθεί τα κυριότερα περιθωριακά ρήγματα των νεοτεκτονικών ρηξιτεμαχών με γενική κίνηση από SSE προς NNW πάνω από την κορυφαία zώνη του αντίκλινου του μεταμορφωμένου υποβάθρου που υπέρκειται της μαγματικής εστίας.

## ΕΙΣΑΓΩΓΗ

Το νησιωτικό σύμπλεγμα της Μήλου και της Ν. Μήλου τοποθετείται στο νοτιοδυτικό τμήμα του σύγχρονου ενεργού ηφαιστειακού τόξου του Αιγαίου. Η περιοχή αυτή χαρακτηρίζεται από έντονη τεκτονική δραστηριότητα ως αποτέλεσμα της γεωδυναμικά εξελισσόμενης μετανάστευσης του ηφαιστειακού τόξου, προς Νότο και την άνοδο προς την επιφάνεια θερμών μαγματικών μαζών (ΠΑΠΑΝΙΚΟΛΑΟΥ, 1986).

Τόσο ο σταδιακή άνοδος των μαγματικών μαζών, όσο και η κυκλοφορία των ρευστών από την επιφάνεια προς το βάθος και αντίστροφα ελέγχονται σχεδόν απόλυτα από τον τεκτονικό ιστό της στενής αλλά και της ευρύτερης περιοχής του νησιωτικού συμπλέγματος της Μήλου.

Ως εκ τούτου η γνώση της γεωμετρίας του γεωλογικού – τεκτονικού ιστού και της κινηματικής των επί μέρους ρηξιτεμαχών που καθορίζουν οι ρηξιγενείς zώνες της Μήλου, παρέχουν σημαντικές πληροφορίες που αφορούν τη δημιουργία του μαγματικού θαλάμου, την τροφοδοσία του με ψυχρές μάζες νερού και την υπόγεια κυκλοφορία των θερμών πλέον ρευστών μέσω της χαλαρωμένης δομής των γεωλογικών σχηματισμών κατά μήκος των ρηξιγενών zωνών.

Η λεπτομερής γεωλογική – τεκτονική χαρτογράφηση, η αποτύπωση των ρηξιγενών zωνών και των κινηματικών τους χαρακτηριστικών και τέλος ο καθορισμός της κινηματικής κατάστασης κάθε ρηξιτεμάχους αναπληρώνουν τη μέχρι σήμερα ισχνή γνώση και την ανυπαρξία σαφούς και ολοκληρωμένης εικόνας του ρηξιγενούς ιστού της Μήλου.

Με τον εντοπισμό των ρηξιγενών zωνών και τη συσχέτισή τους με τις εμφανίσεις των γεωλογικών σχηματισμών με εφαρμογή κάθε είδους γεωμετρικών, κινηματικών, δυναμικών δεδομένων και χρονικών κριτηρίων καθορίστηκαν οι νεοτεκτονικές ενότητες και οι τάσεις της δυναμικής και κινηματικής τους εξέλιξης.

Η έρευνα αυτή έγινε στο διάστημα 1987-88 και χρηματοδοτήθηκε από την ΔΕΜΕ/ΔΕΗ στα πλαίσια της επιστημονικής διερεύνησης του γεωθερμικού πεδίου της Μήλου (PAPANIKOLAOU, 1988).

## ΒΙΒΛΙΟΓΡΑΦΙΚΗ ΑΝΑΣΚΟΠΗΣΗ

Οι έως τώρα γνώσεις μας για τη σημασία της τεκτονικής-νεοτεκτονικής στην ανάπτυξη και αξιοποίηση του γεωθερμικού πεδίου της Μήλου προέρχονται από ένα πολύ μικρό αριθμό δημοσιεύσεων οι οποίες περιέχουν μόνο γενικού χαρακτήρα πληροφορίες και δεν δίνουν μια ολοκληρωμένη και σαφή εικόνα της νεοτεκτονικής δομής.

Οι πρώτες αναφορές για την τεκτονική της Μήλου ανήκουν στον SONDER (1924) και στη συνέχεια στον ΛΙΑΤΣΙΚΑ (1949) οι οποίοι δέχθηκαν ότι η Αλπική ορογένεση δεν έχει επηρεάσει τους σχηματισμούς της νήσου ενώ κατά το Τετραγενές έδρασε μια άκαμπτη τεκτονική ρηγμάτων βαρύτητας η οποία κατά τον ΛΙΑΤΣΙΚΑ (1949) επηρέασε μόνο τους τόφφους της Μήλου.

Τα πρώτα νεοτεκτονικά στοιχεία για την νήσο Μήλο παρουσιάστηκαν από τους ANGELIER et al. (1977) που πρότειναν μια συσχέτιση νεοτεκτονικής – ηφαιστειόπτης. Συμπερασματικά, θεώρησαν ότι στο Ανώτερο Πλειόκαινο στη Μήλο επικράτησαν εφελκυστικές τάσεις οι οποίες αντιστοιχούν στην πρώτη φάση ηφαιστειόπτης με ρυολιθικές λάβες. Κατά τη διάρκεια του Κατώτερου Τεταρτογενούς ακολούθησαν συμπιεστικές τάσεις οι οποίες συμπίπτουν με τη δεύτερη φάση ηφαιστειόπτης με ασθενταλκαλικές λάβες. Μετά το τέλος της ανωτέρω φάσης συμπίεσης δημιουργήθηκαν οι κατάλληλες συνθήκες για τη διαφοροποίηση των ανδεστικών μαγμάτων σε διάφορα βάθη, ενώ οι κατακόρυφες κινήσεις και μετατοπίσεις που συνόδευσαν την επανάληψη του εφελκυσμού από το Μέσο Τεταρτογενές ως σήμερα δημιούργησαν τις προϋποθέσεις για την άνοδο και την εναπόθεση διαφοροποιημένων ηφαιστειακών προϊόντων της τελευταίας ηφαιστειακής δραστηριότητας.

Τέλος, παραθέτουν ένα γεωλογικό χάρτη – σκαρίφημα πάνω στο οποίο σημειώνεται και ένας μικρός αριθμός ρηγμάτων. Σποραδικές μετρήσεις από ορισμένες περιοχές ρηγμάτων συγκεκριμένης διεύθυνσης των οδήγησαν στην παραδοχή εφελκυσμού κατά το Πλειόκαινο σε διεύθυνση N20°E και συμπίεση κάπου στη Νότια Μήλο όπου παρατίρησε ρήγματα με οριζόντια μετάπτωση.

Ορισμένα στοιχεία για το ρηγματογόνο τεκτονισμό της νήσου αναφέρονται και από τον ΦΥΤΙΚΑ (1977), ο οποίος χωρίς τεκτονική ανάλυση δέχεται συνοπτικά τέσσερα κύρια συστήματα ρηγμάτων τα οποία είναι τα ακόλουθα:

α) Το πρώτο σύστημα περιλαμβάνει ρήγματα με διεύθυνση ΔΒΔ-ΑΝΑ τα οποία είναι ευδιάκριτα στο νότιο τμήμα του νησιού, έχουν επιρρεάσει κυρίως το μεταμορφωμένο υπόβαθρο και είναι παράλληλα προς το ηφαιστειακό τόξο. Πρόκειται πιθανότατα για το αρχαιότερο σύστημα ρηγμάτων το οποίο είναι υπεύθυνο για τη δημιουργία των διαδοχικών "τάφρων" και "κεράτων" του υποβάθρου.

β) Το δεύτερο σύστημα περιλαμβάνει ρήγματα με διεύθυνση Α-Δ περίπου τα οποία είναι αρχαιότερα από την περίοδο που άρχισε η ηφαιστειακή δράση.

γ) Το τρίτο σύστημα περιλαμβάνει ρήγματα με διεύθυνση Β-Ν. Απαντούν με μεγάλη συχνότητα σε όλο σχεδόν το νησί, είναι υπεύθυνα για την άνοδο των μαγματικών υλικών καθώς επίσης και για τη δημιουργία των δύο τεκτονικών βυθισμάτων της Ζεφυριάς και του Προβατά – Χιβαδολίμνης. Το σύστημα αυτό έχει επιρρεάσει – όπως διαπιστώθηκε από τα γεωφυσικά δεδομένα – και το μη ηφαιστειακό υπόβαθρο.

δ) Το τέταρτο σύστημα ρηγμάτων περιλαμβάνει ρήγματα με διεύθυνση Β60°Α – Ν60°Δ τα οποία οφείλονται σε επαναδραστηριοποίηση παλαιών ρηγμάτων του υποβάθρου ή σε τοπική διευθέτηση επιφανειακών όγκων πάνω σε υποκείμενες πλαστικές μάζες.

Ο JARRIGE (1978) με βάση ορισμένες παραπρήσεις μικροτεκτονικής που έκανε στα κάτοπτρα των ρηγμάτων της Μήλου κατέληξε σε τρεις διαδοχικές φάσεις παραμόρφωσης που πλησιάζουν τις γενικότερες απόψεις των ANGELIER et al. (1977), ANGELIER (1979) με:

- Μια φάση εφελκυσμού με διεύθυνση NE-SW που επιδρά στους ηφαιστειοϊζηματογενείς σχηματισμούς του Κατώτερου Πλειοκαίνου,
- Μια φάση συμπίεσης σε διεύθυνση N5°Ε μετά – Πλειοκαινική
- Μια δεύτερη φάση εφελκυσμού σε διεύθυνση NW-SE που απαντά στους σχηματισμούς του Τεταρτογενούς.

Ο ΣΗΜΑΙΑΚΗΣ (1985) σε αδημοσίευτη έκθεσή του μελέτησε το ρηγματογόνο τεκτονισμό του νησιωτικού συμπλέγματος της νήσου Μήλου (νήσοι Μήλος, Αντίμηλος, Κίμωλος και Πολύαιγος). Η μελέτη βασίστηκε αρχικά στη μέτρηση των στοιχείων των ρηγμάτων επιφανειών (διεύθυνση, κλίση) και των γραμμών τεκτονικής ολίσθησης από 38 θέσεις και στη συνέχεια στη στατιστική επεξεργασία των στοιχείων πάνω σε δίκτυο Schmidt. Η μελέτη δεν συνοδεύτηκε από χαρτογράφηση των ρηγμάτων και πλήρη τεκτονική ανάλυση αλλά δόθηκε ένας γενικός χάρτης των νησιών (κλίμακα περίπου 1:500.000) με γραμμές διάρρηξης σε αντιστοίχηση με τα ρήγματα του γεωλογικού χάρτη του ΦΥΤΙΚΑ (1977) και γενικής φύσεως φωτοερμηνεία.

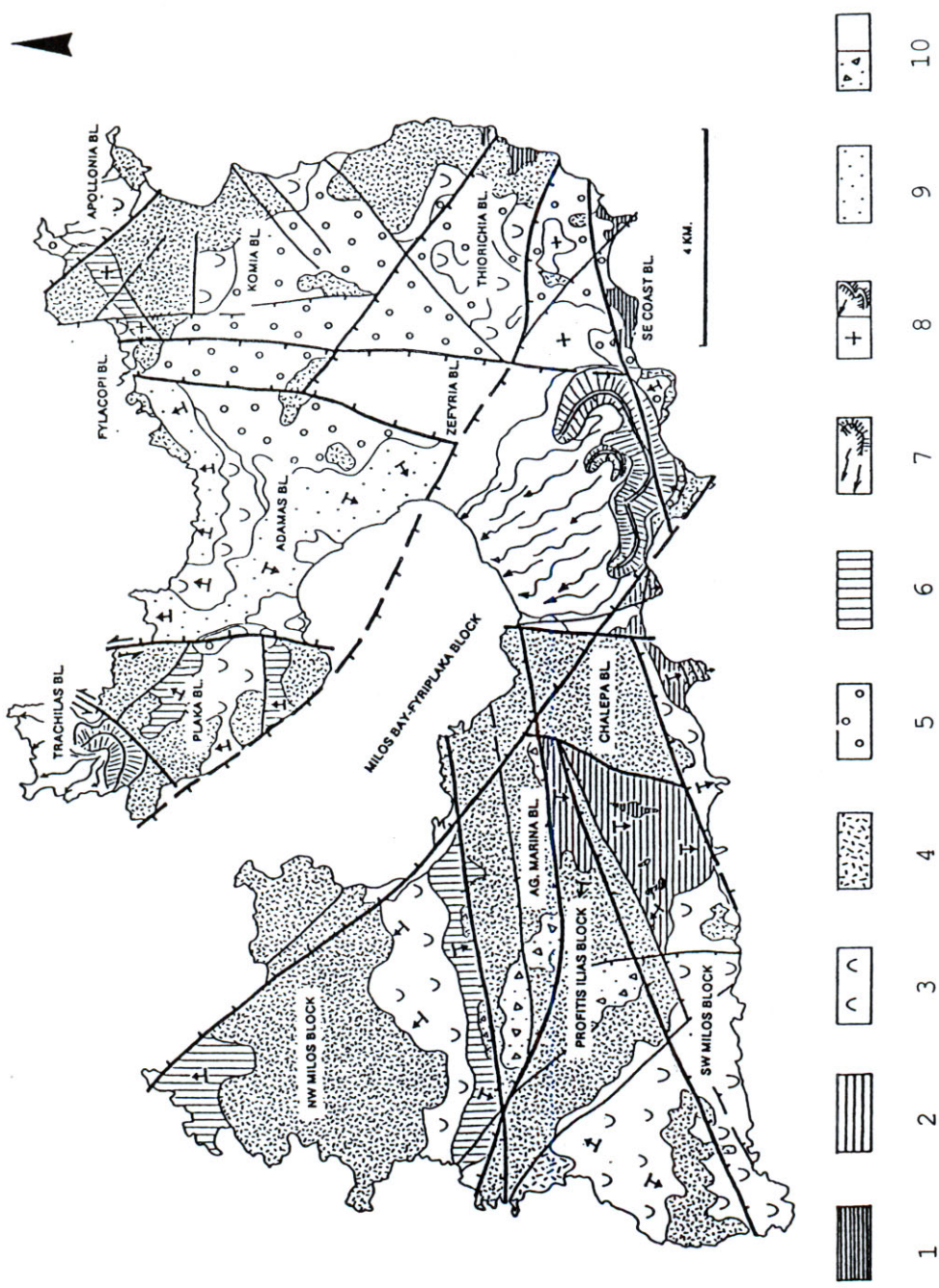
## ΓΕΩΛΟΓΙΚΗ – TEKTONIKΗ ΧΑΡΤΟΓΡΑΦΗΣΗ

### Μεθοδολογία

Η εκπόνηση του τεκτονικού χάρτη της Μήλου σε κλίμακα 1:25.000 βασίστηκε στο συνδυασμό τεκτονικών στοιχείων με στρωματογραφικά και μορφοδυναμικά στοιχεία με στόχο όχι μόνο την ποιοτική αλλά και την ποσοτική τεκτονική ανάλυση. Το πλήθος των ρηγμάτων της Μήλου είναι δυνατόν να διακριθεί σε κύρια και δευτερεύοντα ρήγματα, με βάση το μέγεθος της μετατόπισης εκατέρωθεν των κατά περίπτωση ρηγμάτων. Ο προσδιορισμός του μεγέθους της μετατόπισης είναι δυνατός εφόσον είναι γνωστή η διαδοχή των στρωματογραφικών σχηματισμών της Μήλου καθώς και το πάχος τους, ενώ σημαντική βοήθεια προσφέρει και η μελέτη της παραμόρφωσης ειδικών παλαιομορφολογικών επιφανειών (όπως παλαιοακτές, παλαιοαναβαθμίδες, παλαιοκλιτύες). Η παρατήρηση των σχέσεων ανάμεσα στα ρήγματα και τους διάφορους στρωματογραφικούς σχηματισμούς σε συνδυασμό με την πλικά τους οδήγησε στην πιστοποίηση της χρονικής διάρκειας κατά την οποία κάθε συγκεκριμένορήγμα ήταν ενεργό, εντοπίζοντας έτσι στο χώρο τα επιμέρους συνιζηματογενή γεωδυναμικά φαινόμενα, όπως ανοδικές ή καθοδικές κινήσεις, περιστροφές, ζώνες διάβρωσης ή πρόσχωσης και σχετικές μετατοπίσεις της στάθμης της θάλασσας.

Με βάση τα παραπάνω έγινε γεωλογική χαρτογράφηση της Μήλου (Εικ. 1) με βάση την επιλογή στρωματογραφικών ενοτίτων – οριζόντων, οι οποίοι να έχουν σχετικά μεγάλη εξάπλωση στο νησί, να είναι αρκετά γεωμετρικοί, με γνωστό το πάχος τους ή την τάση μεταβολής του πάχους και με γνωστή την πλικά, ώστε να μπορεί να προσδιοριστεί η χρονική εξέλιξη της τεκτονικής δομής με όσο το δυνατό μεγαλύτερη ακρίβεια. Έτσι, ορισμένοι στρωματογραφικοί σχηματισμοί παρά το σχετικά μικρό πάχος τους, αποτελούν χαρακτηριστικούς ορίζοντες αναφοράς για την παραμόρφωση της Μήλου από την αρχή του Μέσου Πλειστόκαινου έως σήμερα, όπως οι πορώδεις τόφφοι-ψαμμίτες, τα πυροκλαστικά στρώματα της Φυριπλάκας, το χαοτικό Πλειστοκαινικό λατυποπαγές-λαχάρ και οι νέοι τοφφίτες.

Το πρώτο κριτήριο της σημαντικότητας των ρηγμάτων είναι η μετάθεση των ορίων ανάμεσα σε επιλεγμένους στρωματογραφικούς σχηματισμούς. Έτσι, όσα ρήγματα δεν μεταθέτουν εκατέρωθεν του επιφανειακού ίχνους τους τα όρια των στρωματογραφικών σχηματισμών μπορούν να χαρακτηρισθούν σαν δευτερεύοντα μικρά ρήγματα. Αντίθετα, ρήγματα, τα οποία μεταθέτουν τα όρια ή ακόμη και οριοθετούν συγκεκριμένες εμφανίσεις σχηματισμών μπορούν να χαρακτηρισθούν κύρια ρήγματα. Τα ρήγματα αυτά που οριοθετούν μεγάλα ρηγμάτη (Εικ. 1), καθένα από τα οποία έχει τη δική του ιδιαίτερη νεοτεκτονική εξέλιξη μπορούν να



**Εικ. 1:** Σχηματικός νεοτεκτονικός χάρτης της Νίσου Μήλου.  
 1: Μεραμφρουμένο υπόβαθρο, 2: Αδεστολίθιο κ.λ.π. Ιζύματα Αναντέρου Μελοκαίνου – Κατώτερου Πλακοκαίνου, 3: Παλαιοί τσοφίτες, 4: Κατότερες Λαδίβες, 5: Λαχάρ,  
 6: Νεοί τσοφίτες, 7: Ηφαιστειακά Τράχυλα, 8: Ηφαιστειακά Φυρπλάκας, 9: Πρόσοφατοι τσοφοί και ψορφίτες, 10: Άλλοσια και πλευρικά κορήματα.

χαρακτηρισθούν σαν κύρια ρήγματα, ενώ τα ρηξιτεμάχη που περιβάλλονται από τέτοια κύρια ρήγματα συνιστούν τις κυριότερες νεοτεκτονικές ενότητες της Μήλου, οι οποίες και θα περιγραφούν αναλυτικά στο επόμενο κεφάλαιο.

Έτσι με βάση τα προγενέστερα γεωλογικά στοιχεία και κυρίως το χάρτη του ΙΓΜΕ (ΦΥΤΙΚΑΣ, 1977) έγινε συστηματική εργασία στο ύπαιθρο κατά τη διάρκεια της οποίας δόθηκε ιδιαίτερη βαρύτητα:

1. στον εντοπισμό, χαρτογράφηση και μετρήσεις των στοιχείων των ρηγμάτων,
2. στη διερεύνηση του είδους των στρωματογραφικών επαφών,
3. στις μετρήσεις των κλίσεων των στρωμάτων για καθορισμό αντιπροσωπευτικών τιμών για κάθε περιοχή – ρηξιτέμαχος, με στόχο την πιστοποίηση στρέψεων περί οριζόντιο άξονα,
4. στις παρατηρήσεις πάνω στα τεκτονικά στοιχεία των κυρίων ρηγμάτων και των γεπονικών ρηξιτεμαχών σε συνδυασμό με τα μορφοδυναμικά στοιχεία, ώστε να προσδιορισθεί η διάρκεια και η εξέλιξη του συνιζηματογενούς τεκτονισμού.

Κατά τη χαρτογράφηση προέκυψαν πολλά νέα τεκτονικά στοιχεία που συνοψίζονται στα ακόλουθα:

α) Διαπιστώθηκε ότι σε αρκετές περιπτώσεις τα όρια των σχηματισμών συμπίπτουν με μεγάλα ή κύρια ρήγματα, γεγονός που φανερώνει τον τεκτονικό έλεγχο στη γεωλογική δομή.

β) Ορισμένοι σχηματισμοί αναπτύσσονται μόνο σε συγκεκριμένα τιμήματα του νησιού, το κάθε ένα από τα οποία αντιστοιχεί σε ένα ανεξάρτητο ρηξιτέμαχος με ανεξάρτητη εξέλιξη στο χρόνο. Τα ρηξιτεμάχη αυτά που οριοθετούνται από κύρια ρήγματα συνιστούν ιδιαίτερες νεοτεκτονικές ενότητες σε κάθε μια από τις οποίες υπάρχει διαφορετική νεοτεκτονική παραμόρφωση, διαφορετική γεωλογική δομή και ακόμα διαφορετική γεωμορφολογική εικόνα.

## Περιγραφή των σχηματισμών του νεοτεκτονικού χάρτη

No 1: Αλλοιουβιακές αποθέσεις, παράκτιες αποθέσεις, πλευρικά κορήματα, κώνοι κορημάτων και ποταμοχειμάρριες αποθέσεις. Περιλαμβάνουν κροκαλολατύπες, άμμους και αργιλούς, το πάχος των οποίων φθάνει σε ορισμένες περιοχές και τα 100 μέτρα (Ζεφυρία). Οι παράκτιες και οι ποταμοχειμάρριες αποθέσεις περιλαμβάνουν ασύνδετες κροκάλες και άμμους και έχουν περιορισμένο πάχος. Τα πλευρικά κορήματα και οι κώνοι κορημάτων αποτελούνται από ποικίλου μεγέθους ασύνδετες και τοπικά μόνο συνδεδεμένες λατύπες, των οποίων η σύσταση μεταβάλλεται ανάλογα με τα πετρώματα των περιοχών τροφοδοσίας. Παρατηρούνται στις κλίπεις των υψωμάτων και έχουν περιορισμένο πάχος (Εικ. 1).

No 2: Πρόσφατοι πορώδεις τόφφοι και ψαμμίτες. Επικάθονται ασύμφωνα πάνω σε τόφφους, τοφφίτες, λαχάρ, λάθες, κ.ά. Είναι στρωμένοι, συνεκτικοί, καστανού, ερυθρωπού ή και κιτρινωπού χρώματος από υλικά κυρίως λεπτομερή αλλά και αδρομερή. Σε ορισμένες θέσεις περιέχουν ολόκληρα ή και σπασμένα μικροαπολίθωματα όπως *Helix* sp., *Pecten jacobaeus*, *Terebratula* sp. κ.ά. Το πάχος τους είναι συνήθως λίγα μέτρα και σε σπάνιες περιπτώσεις φθάνει τα 30 μέτρα, ενώ οι κλίσεις των στρωμάτων τους είναι συνήθως 5°-10° και σπανιότερα 10°-25°. Αποτελούν ουσιαστικά το τελευταίο γεωμετρικό στρωματογραφικό σχηματισμό της Μήλου. Οι εμφανίσεις των πορωδών τόφφων παρατηρούνται κυρίως στο τιμήμα του νησιού που ορίζεται προς μεν τα ανατολικά από τη ρηξιγενή ζώνη Ζεφυρία-Ακρωτήρι Κάπρου προς δε τα δυτικά από τη ρηξιγενή ζώνη Αδάμαντα-Μανδράκι. Είναι πιθανό να αντιστοιχούν στους συνήθεις ψαμμιτικούς σχηματισμούς του Αιγαίου με μορφή παράκτιων αναβαθμίδων

(FYTROLAKIS & PAPANIKOLAOU, 1977) ηλικίας Τυρρηνίου (Εικ. 1).

Νο 3α: Λεπτά στρώματα από πυροκλαστικά υλικά του Ηφαιστείου της Φυριπλάκας τα οποία επεξεργάσθηκαν από νερά πιθανότατα θαλασσινά. Εμφανίζονται κυρίως στην ανατολική πλευρά του ηφαιστειακού κώνου με πλέον χαρακτηριστικές εμφανίσεις στην περιοχή της Αγίας Αικατερίνης. Η ηλικία τους είναι περίπου η ίδια με την ηλικία του ηφαιστείου δηλαδή 0,14-0,08 M.a. (κυρίως Ανώτερο Πλειστόκαινο) και ίσως λίγο νεότερη. Υπέρκειται ασύμφωνα των παλαιότερων σχηματισμών και κυρίως του χαοτικού Πλειστοκαινικού λατυποπαγούς λαχάρ και το πάχος τους φθάνει κατά θέσεις τα 40 μέτρα (Εικ. 1).

Νο 3β: Πυροκλαστικός κώνος και ρυολιθικές λαβές του Ηφαιστείου της Φυριπλάκας, ο οποίος περιλαμβάνει συνεχείς εναλλαγές από τέφρα, άμμο αλλά και περλιπικά στρώματα ρυολιθικής σύστασης. Προς το νότιο τμήμα του κώνου τα ηφαιστειακά υλικά επικάθονται ασύμφωνα σε παλαιότερους σχηματισμούς παλαιότερης ηφαιστειόπτητας. Οι ρυολιθικές λαβές συγκροτούν δόμους ή ρεύματα και έχουν περλιπική και κισσηρώδη υφή. Τόσο τα πυροκλαστικά υλικά όσο και οι ρυολιθικές λαβές δεν αναπτύσσονται δυτικότερα της ρηξιγενούς ζώνης όρμου Προβατά-Χιβαδολίμνης. Η ηλικία τους με βάση ταραντολογήσεις είναι 0,14 έως 0,08 M.a. δηλαδή τέλος Μέσου Πλειστοκαινού-Ανώτερο Πλειστόκαινο (Εικ. 1).

Νο 4: Πυροκλαστικός κώνος και ρυολιθικές λαβές του Ηφαιστείου του Τράχηλα. Ο Πυροκλαστικός κώνος του Ηφαιστείου του Τράχηλα περιλαμβάνει συνεχείς εναλλαγές τέφρας, άμμου και περλιπικών στρωμάτων ρυολιθικής σύστασης. Οι ρυολιθικές λαβές αναπτύσσονται προς τα Βόρεια του κώνου και συγκροτούν δόμους και ρεύματα περλιπικής και κισσηρώδους υφής. Η ηλικία τους με βάση τις ταραντολογήσεις είναι 0,38 M.a. δηλαδή Μέσο Πλειστόκαινο. Προς το νότιο ο πυροκλαστικός κώνος του Ηφαιστείου του Τράχηλα και οι ρυολιθικές λαβές οριοθετούνται από τη μεγάλη ρηξιγενή ζώνη Κόλπου Φουρκοβουνίου-Παραλία Φυροποτάμου (Εικ. 1).

Νο 5: Νέοι τοφφίτες. Πρόκειται για τοφφίτες σχεδόν οριζόντιους που επικάθονται ασύμφωνα πάνω σε παλαιότερους ηφαιστίτες, είναι κυρίως λεπτόκοκκοι αλλά και κατά θέσεις αδρομερέστεροι με αποστρογγυλωμένα τεμάχια οφιδιανού (ΒΔ του Αδάμαντα) και έχουν σχηματισθεί από παλαιότερα πυροκλαστικά υλικά που επεξεργάσθηκε η θάλασσα. Κατά θέσεις περιέχουν θραύσματα από Ελασματοβράγχια (*Pecten* sp., *Ostrea* sp., κ.ά.), Εχινόδερμα και Βραχιονόποδα. Οι τοφφίτες υπόκεινται των λαβών, των πυροκλαστικών της Φυριπλάκας και του Τράχηλα και φυσικά των πρόσφατων πορωδών τόφφων ψαμμιτών και των αλλούσιων. Αντίθετα υπέρκεινται του χαοτικού Πλειστοκαινικού λατυποπαγούς-λαχάρ και των παλαιών τόφφων-τοφφικών. Η ηλικία τους είναι Μέσο Πλειστόκαινο, το πάχος τους φθάνει κατά θέσεις τα 50 περίπου μέτρα και εμφανίζονται κυρίως στο ΒΔ και ΒΑ τμήμα της Μήλου (Εικ. 1).

Νο 6: Πράσινο Λαχάρ-χαοτικό Πλειστοκαινικό λατυποπαγές. Αποθέσεις ασύνδετων ετερογενών υλικών κυρίως κροκαλοπαγών από μεταμορφωμένα, ασθετολιθικά μαργαϊκά ψαμμιτικά και ηφαιστειακά πετρώματα μέσα σε λεπτομερείς ηφαιστειακές τέφρες και τρίματα διαφόρων πετρωμάτων. Η εσωτερική δομή του σχηματισμού είναι καώδης χωρίς ταξινόμιση ως προς το μέγεθος των αδρομερών υλικών. Υπέρκειται ασύμφωνα σε λάβες, τόφφους-τοφφίτες και λοιπούς ηφαιστίτες καθώς επίσης και πάνω στο μεταμορφωμένο Αλπικό υπόβαθρο και στους Άνω Μειοκαινικούς σχηματισμούς (περιοχή ρέματος Κουραδή στο ανατολικό περιθώριο του θυθίσματος της Ζευφορίας). Προς τα άνω καλύπτεται ασύμφωνα στη μεν περιοχή του Ηφαιστείου της Φυριπλάκας από τις ρυολιθικές λάβες και τόφφους στις δε υπόλοιπες περιοχές από τους πρόσφατους πορώδεις τόφφους και τα αλλούσια. Αποτελεί ιδιόμορφο σχηματισμό που καλύπτει μια ανώμαλη παλαιομορφολογική επιφάνεια. Η ηλικία του είναι Κάτω-Μέσο

**Πλειστόκαινο** (δηλαδή στο διάστημα 0,95-0,38 Μ.α.) εμφανίζεται κυρίως στο ανατολικό τμήμα της Μήλου και το πάχος του φθάνει τοπικά τα 70 περίπου μέτρα (Εικ. 1).

No 7: Λάβες, αδρομερείς πυροκλαστικές αποθέσεις και ρεύματα ρυολιθικοί ιγνιμβρίτες, αποθέσεις κίσσης και ηφαιστίτες έντονα εξαλλοιωμένοι. Οι λάβες είναι ανδεσπικές, δακτικές, ρυοδακτικές, ρυολιθικές με μορφή δόμων, δόμων εξώθησης, δόμων εκροής ρευμάτων και είναι συχνά εξαλλοιωμένες υδροθερμικά. Έχουν συνήθως πορφυρίτικό ή μικρολιθικό ιστό, φαινοκρυστάλλους από διάφορα ορυκτά και θεμελιώδη μάζα ναλώδη περλιτική ή μικρολιθική. Εμφανίζονται σε πολλές περιοχές σε όλη την έκταση του νησιού. Η πλικιά τους κυμαίνεται με βάση τις ραδιοχρονολογίσεις από 3,4 Μ.α. (τοποθεσία Πλατοράχες στο ΝΔ τμήμα του νησιού) ως 0,95 Μ.α. (τοποθεσίες Χαλέπα και Φουρκοβούνι) δηλαδή Πλειστόκαινο-Κατώτερο Πλειστόκαινο. Αξιοσημείωτο όμως είναι το γεγονός ότι στο δυτικό τμήμα της Μήλου (δυτικά της ρηξιγενούς ζώνης Πούντας – Βρωμολίμνης) οι λάβες έχουν πλικιά μεγαλύτερη των 2,0 Μ.α., ενώ αντίθετα στο ανατολικό τμήμα οι λάβες έχουν πλικιά μικρότερη των 2,0 Μ.α. Οι πυροκλαστικές αποθέσεις – με ρεύματα περιλαμβάνουν τεμάχιο κίσσης, λάβας, που εναλλάσσονται με άλλα πυροκλαστικά προϊόντα και συγκεκριμένα τέφρες, άμμους και λιθάρια. Οι ιγνιμβρίτες είναι ρυολιθικοί, παρεμβάλλονται σε ρεύματα λάβας, είναι συχνά εξαλλοιωμένοι και έχουν πάχος 5-10 περίπου μέτρα. Οι αποθέσεις ρευμάτων κίσσης περιλαμβάνουν κομμάτια άστρωτης ανοικτόχρωμης κίσσης μεγέθους ως δύο μέτρων τα οποία είναι συνδεδεμένα με ναλώδη κισσηρούχο λεπτομερή μάζα (Εικ. 1).

No 8: Παλαιοί τοφφίτες και τόφφοι Πλειοκαινικής – (;) Κάτω Πλειστοκαινικής πλικιάς. Οι τοφφίτες είναι λευκοί ως υποκίτρινοι, αποτελούνται από λεπτομερή κυρίως ηφαιστειακά υλικά που αποτέθηκαν σε ρηχές θαλάσσιες λεκάνες και εναλλάσσονται με τόφφους κερσαίας απόθεσης. Περιέχουν πλήθος μικροαπολιθωμάτων και κομμάτια κίσσης διαφόρων μεγεθών, συνήθως 15-50 εκατοστών, μέσα σε λεπτομερές ναλώδες κισσηρούχο συνδετικό υλικό και ορίζοντες με ηφαιστειακή τέφρα και άμμο. Πάνω από τους παλαιούς τόφφους-τοφφίτες επικάθονται ασύμφωνα νεώτεροι ηφαιστίτες (λάβες ρυολιθικές-δακτικές, λαχάρ, νεώτεροι τόφφοι και τοφφίτες, κλπ), ενώ η επαφή τους με τους άλλους σχηματισμούς είναι συχνά τεκτονική (Εικ. 1).

No 9: Ασβεστόλιθοι, μάργες, ψαμμίτες και κροκαλοπαγή του Ανωτέρου Μειόκαινου. Επικάθονται πάνω στο μεταμορφωμένο υπόβαθρο και περιλαμβάνουν στη βάση κροκαλοπαγές επίκλυσης μικρού πάχους το οποίο αποτελείται από κροκάλες μεταμορφωμένων πετρωμάτων. Προς τα άνω ακολουθούν εναλλαγές κροκαλοπαγών, άμμων, ασβεστολίθων, μαργών και τόφφων-τοφφιτών. Τα κροκαλοπαγή αποτελούνται από κροκάλες διαμέτρου (0,5-2 cm) ενώ το συνδετικό υλικό είναι ερυθρά άργιλος η οποία προσδίδει ένα έντονο ερυθρό χαρακτηριστικό χρώμα. Οι ασβεστόλιθοι είναι μεσοστρωματώδεις και κατά θέσεις μαργάϊκοι ερυθρωποί στα κατώτερα και τεφροί στα αινώτερα και κατά θέσεις περιέχουν μικρά απολιθώματα (κοράλλια, μαλάκια, κ.ά.). Οι αινώτεροι ασβεστόλιθοι πιθανά Κάτω-Πλειοκαινικής πλικιάς βρίσκονται σε μικρή γωνιάδη ασυμφωνία με τα υποκείμενα κλαστικά και τους κατώτερους ασβεστόλιθους πιθανά Άνω Μειόκαινικής πλικιάς. Η ύπαρξη της ασυμφωνίας αυτής διαιπιστώνεται για πρώτη φορά. Οι τόφφοι-τοφφίτες παρεμβάλλονται με μορφή ενδιαστρώσεων πάχους έως 0,5 μέτρων και έχουν ανοικτό χρώμα. Η παρουσία των τόφφων-τοφφιτών στο συγκεκριμένο στρωματογραφικό ύψος δεν πάντα έως τώρα γνωστή. Πάνω στις Άνω-Μειόκαινικές αποθέσεις υπέρκεινται ασύμφωνα ιγνιμβρίτες στην περιοχή του δόμου του Προφήτη Ηλία, πράσινο λαχάρ στην περιοχή ανατολικά της λεκάνης της Ζεφυρίας, στρωμένοι τόφφοι και συνεκτικοί ψαμμίτες στην περιοχή Μπούντα και λάβες, τόφφοι-τοφφίτες σε άλλες θέσεις. Οι εμφανίσεις του σχηματισμού

είναι περιορισμένες και κυρίως εντοπίζονται στο νότιο-κεντρικό και το ανατολικό-κεντρικό τμήμα της Μήλου. Οι μεγαλύτερες εμφανίσεις σε έκταση απαντούν στην περιοχή του ρέματος Καλάμιου, Κουτσουνοράχης, Μπούντας και Μέσα Ακρωτηρίου, ενώ μικρότερες στην περιοχή Λαγκάδια στο ανατολικό κεντρικό τμήμα του νησιού. Μια νέα εμφάνιση εντοπίσθηκε στο ανατολικό περιθώριο του βυθίσματος της Ζεφυρίας στο ρέμα Κουραδή, η οποία έχει πολύ μεγάλη σημασία στον υπολογισμό του μεγέθους των νεοτεκτονικών κινήσεων και γενικότερα της νεοτεκτονικής εξέλιξης.

Γενικά, η μελέτη των αρχαιοτέρων μεταλπικών ιζημάτων πάνω στο μεταμορφωμένο υπόβαθρο της Μήλου έδωσε πολλά νέα στοιχεία που αναθεωρούν τις προηγούμενες απόψεις σχετικά με τη γεωδυναμική εξέλιξη της περιοχής κατά το όριο Μειοκαίνου-Πλειοκαίνου και ιδιαίτερα σχετικά με την έναρξη της περιοχής της ηφαιστειότητας που εντάσσεται σαφώς στο Κατώτερο Πλειοκαίνο (PAPANIKOLAOU *et al.*, 1990).

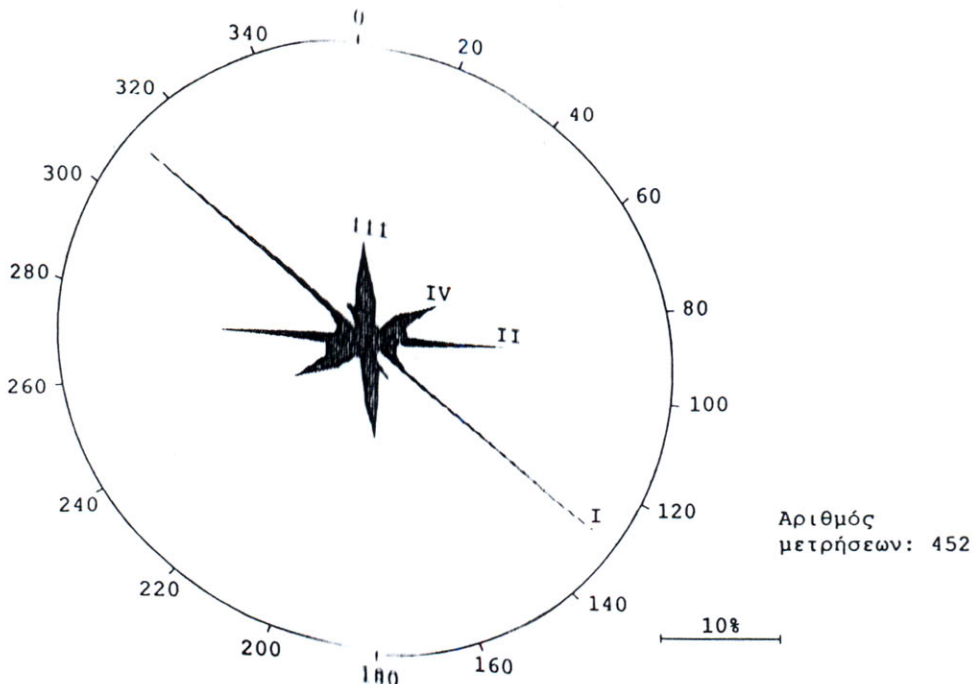
Νο 10: Μεταμορφωμένο υπόβαθρο από πρασινοσχιστόλιθους, κυανοσχιστόλιθους, μεταβασάλτες και χαλαζίτες. Η ηλικία της μεταμόρφωσης είναι για τους μεν κυανοσχιστόλιθους  $64,2 \pm 6,5$  Μ.α. για τους δε πρασινοσχιστόλιθους είναι  $33,2 \pm 1,03$  Μ.α. (στοιχεία από το γεωλογικό χάρτη της Μήλου, ΦΥΤΙΚΑΣ 1977). Το μεταμορφωμένο υπόβαθρο εμφανίζεται κυρίως στις περιοχές Θειωρυχεία, όρμος Αγίας Κυριακής, όρμος Παλαιοχωρίου, κείμαρρος Καλαμίας, ενώ μικρότερες εμφανίσεις υπάρχουν κυρίως στο ανατολικό περιθώριο του τεκτονικού βυθίσματος της Ζεφυρίας. Δύο νέες εμφανίσεις του υποβάθρου εντοπίσθηκαν στην περιοχή N-NA του Προφήτη Ηλία κάτω από τα ιζήματα του Ανωτέρου Μειοκαίνου. Πάνω στο μεταμορφωμένο Αλπικό υπόβαθρο επικάθονται ασύμφωνα είτε Άνω-Μειοκαίνικοί σχηματισμοί είτε απευθείας νεότεροι σχηματισμοί (Πλειο-Πλειστοκαίνικοι).

## ΑΝΑΛΥΣΗ ΤΩΝ ΡΗΞΙΓΕΝΩΝ ΖΩΝΩΝ ΚΑΙ ΤΩΝ ΝΕΟΤΕΚΤΟΝΙΚΩΝ ΕΝΟΤΗΤΩΝ ΤΗΣ ΑΝΑΤΟΛΙΚΗΣ ΜΗΛΟΥ

Η στατιστική επεξεργασία των διευθύνσεων των 452 ρηγμάτων που συνολικά χαρτογραφήθηκαν φαίνεται στο ροδόγραμμα της Εικόνας 2. Το στατιστικό αυτό διάγραμμα διευθύνσεων ρηγμάτων δείχνει ότι στη Μήλο μπορούν να διακριθούν τέσσερις προτιμότερες διευθύνσεις ρηγμάτων, που συμβατικά έχει καθιερωθεί να θεωρούνται ισάριθμα και αντίστοιχα συστήματα ρηγμάτων, παρά το ότι όπως θα αναλυθεί στη συνέχεια αυτή η αντιστοίχηση δεν ισχύει πάντοτε. Ιδιαίτερα στη Μήλο, ρήγματα ίδιας διεύθυνσης μπορεί να ανήκουν σε διαφορετικά συστήματα και αντίθετα ρήγματα διαφορετικής διεύθυνσης να ανήκουν στο ίδιο συνυγές σύστημα ρηγμάτων.

Το επικρατούν πρώτο σύστημα ρηγμάτων έχει διεύθυνση NW-SE ( $130^\circ$ - $130^\circ$ ) και περιλαμβάνει περίπου το 29% του συνόλου των ρηγμάτων. Το επόμενο δεύτερο σύστημα ρηγμάτων έχει διεύθυνση E-W ( $90^\circ$ - $270^\circ$ ) και περιλαμβάνει περίπου το 19%. Το τρίτο σύστημα ρηγμάτων έχει διεύθυνση N-S ( $0^\circ$ - $180^\circ$ ) και περιλαμβάνει περίπου το 18%, ενώ το τέταρτο σύστημα έχει διεύθυνση NEE-SWW ( $60^\circ$ - $240^\circ$ ) και περιλαμβάνει περίπου το 16%.

Όπως αναφέρθηκε στην άνω Μήλο διακρίθηκαν ορισμένα κύρια ρήγματα -ρηξιγενείς zώνες οι οποίες οριοθετούν τα ρηξιτεμάχη - νεοτεκτονικές ενότητες. Τα κύρια ρήγματα - ρηξιγενείς zώνες εντοπίσθηκαν αρχικά από αναλυτικούς χάρτες εμφανίσεων καθενός σχηματισμού με κριτήριο είτε ότι μεταθέτουν σημαντικά τα όρια ή και οριοθετούν συγκεκριμένες εμφανίσεις σχηματισμών, είτε ότι οριοθετούν εμφανίσεις ενός συγκεκριμένου σχηματισμού ή

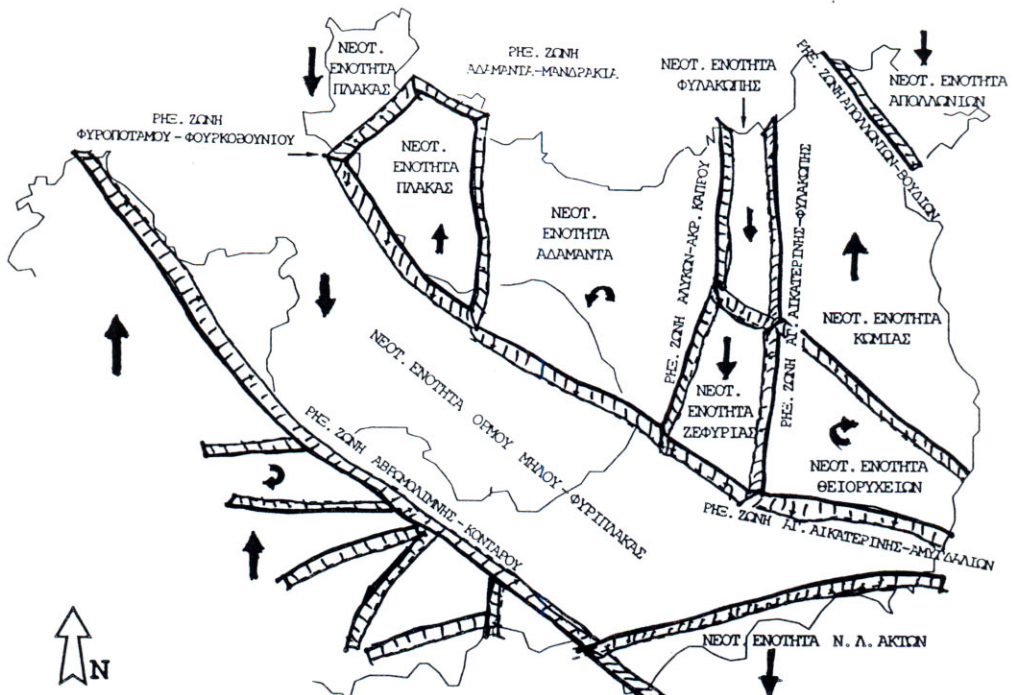


**Εικ. 2:** Συνοπτικό ροδόγραμμα των διευθύνσεων των ρηγμάτων της Μήλου.

ομάδας σχηματισμών συνολικά σε όλο το νησί ή σε ένα μεγάλο τμήμα του. Μια συνοπτική απεικόνιση των ρηξιγενών ζωνών δίνεται στην Εικόνα 3, ενώ η χρονική περίοδος δράσης της κάθε μιας ρηξιγενούς ζώνης δίδεται στην Εικόνα 4.

Ρηξιγενής ζώνη Βρωμολίμνης-Κονιάρου. Πρόκειται για μια μεγάλη ρηξιγενή ζώνη η οποία αρχίζει από το Ακρωτήριο Τούρλος και καταλήγει νότια του κώνου του Ηφαιστείου της Φυριπλάκας. Έχει μήκος πάνω από 8εκαπέντε χιλιόμετρα και στο μεγαλύτερο της τμήμα της παραπρούνται σημαντικά σε μέγεθος κάτοπτρα με χαρακτηριστικές κρούστες και γραμμές τεκτονικής ολίσθησης που δείχνουν ότι έχει δράσει σε περισσότερες από μια περιόδους. Το συνολικό κατακόρυφο άλμα της ρηξιγενούς ζώνης δύπως προκύπτει από συνεκτίμηση πολλών παραγόντων και κυρίως μορφοδυναμικών υπερβαίνει τα 200 μέτρα (Εικ. 3).

Όπως έχει αναφερθεί και σε προηγούμενα κεφάλαια, η ρηξιγενής ζώνη Βρωμολίμνης-της οποίας το ανατολικό όριο είναι η ρηξιγενής ζώνη Αγίας Αικατερίνης-Αμυγδαλής. Η ενόπτη αυτή είναι σημαντικά ταπεινωμένη αει οχέση με τις εκατέρωθεν νεοτεκτονικές ενόπτεις (π.χ. Αδάμαντα, Πλάκας ανατολικά και ΒΛ Μήλου, Προφήτη Ηλία, κ.ά. δυτικά), με αποτέλεσμα στο μεν NW τμήμα της να εισχωρεί η θαλασσά στο δε SE τμήμα της να αναπυχθεί το Ηφαίστειο της Φυριπλάκας. Ουσιαστικά το ρηξιέπεικο Όρμου Μήλου-Φυριπλάκας δεν διαχωρίζει μόνο γεωγραφικά την Ανατολική από τη Δυτική Μήλου αλλά και τεκτονικά. Είναι χαρακτηριστικό ότι όλες οι νεοτεκτονικές δομές της Δυτικής Μήλου οι οποίες έχουν κυρίως διεύθυνση E-W, Ανατολική Μήλο οι οποίες έχουν κυρίως διεύθυνση N-S σταματούν και αυτές απότομα στα



**Εικ. 3:** Οι ρηξιγενείς ζώνες και οι Νεοτεκτονικές ενότητες της Ανατολικής Μήλου.

ανατολικά όρια του ρηξιτεμάχους. Η ρηξιγενής ζώνη Βρωμολίμνης-Κοντάρου δεν έδρασε μόνο σε μια χρονική περίοδο αλλά επαναδραστηριοποιήθηκε πολλές φορές, γεγονός που διαπιστώθηκε κυρίως από την παρουσία στις κατοπτρικές επιφάνειες των ρηγμάτων της, πολλών συστημάτων γραμμών τεκτονικής ολίσθησης. Αναλυτικότερα, η ρηξιγενής ζώνη έδρασε κατά: (i) το Ανώτερο Μειόκαινο – Κατώτερο Πλειόκαινο, με αποτέλεσμα την παρουσία μόνο στην SW πλευρά της ζώνης Άνω Μειοκαινικών σχηματισμών (περιοχή Προβατά) και όχι στην NE (ii) το Μέσο Πλειστόκαινο, με αποτέλεσμα την οριοθέτηση προς τη ΝΕ μεγάλων εμφανίσεων των νέων τοφφιτών (Ακρωτήριο Τούρλος), (iii) το τέλος Μέσου Πλειστοκαίνου – Ανώτερο Πλειστόκαινο (δηλαδί 0,14-0,08 Μ.α.), με αποτέλεσμα την οριοθέτηση προς τη SW των λαβών του ηφαιστείου της Φυριπλάκας και (iv) το Ανώτερο Πλειστόκαινο – Ολόκαινο με αποτέλεσμα, την οριοθέτηση σημαντικών εμφανίσεων αλλούσιων προς τη SW (περιοχές Βρωμολίμνης και κόλπου Κοντάρου).

Ρηξιγενής ζώνη Αγίας Αικατερίνης-Αμυγδαλιές. Η ρηξιγενής ζώνη Αγίας Αικατερίνης-Αμυγδαλιές έχει διεύθυνση NW-SE και διαχωρίζει τις τεκτονικές ενότητες του όρμου της Μήλου-Φυριπλάκας προς τα νότια και των θειωρυχείων προς τα βόρεια. Η ρηξιγενής ζώνη Αγίας Αικατερίνης-Αμυγδαλιές αποτελεί πιθανότατα το SE τμήμα μιας μεγάλης ρηξιγενούς ζώνης της οποίας το NW τμήμα συμπίπτει με την ανατολική ακτή του κόλπου της Μήλου (Εικ. 3). Η ρηξιγενής ζώνη Αγίας Αικατερίνης-Αμυγδαλιές γίνεται αμέσως αντιλοπτή από την απότομη διακοπή των εμφανίσεων ορισμένων σχηματισμών κατά μήκος της αλλά και από την παρουσία πολλών κατοπτρικών επιφανειών με διεύθυνση περίπου E-W ως NW-SE και κλίση  $60^{\circ}$  - $85^{\circ}$  προς τα νότια. Πάνω στις κατοπτρικές επιφάνειες παρατηρήθηκαν τουλάχιστον δύο συστήματα γραμμών προστριβής μερικές από τις οποίες είχαν σημαντική οριζόντια συνιστώσα. Είναι μια

<b>Δ/ΝΕΗ ΡΗΞ. ΖΩΝΗΣ</b> <b>ΠΕΡΙΟΔΟΣ ΔΡΑΣΤΗΡΙΟΤΗΤΑΣ</b>	<b>I (130°-310°)</b>	<b>II (W-E)</b>	<b>III (N-S)</b>	<b>IV (60°-240°)</b>
<b>ΟΠΟΚΑΙΝΟ</b> 0.01 Μ.α.	ΒΡΟΜΟΛΙΜΝΗ- ΚΟΝΤΑΡΟΥ ΑΓ.ΑΙΚΑΤΕΡΙΝΗ- ΑΜΥΓΔΑΛΙΕΣ ΑΠΟΛΛΩΝΙΩΝ-ΒΟΥΔΙΩΝ		ΑΔΑΜΑΝΤΑ-ΜΑΝΔΡΑΚΙΑ ΚΑΠΡΟΥ-ΑΛΥΚΕΣ ΜΗΛΟΥ ΑΓ.ΑΙΚΑΤΕΡΙΝΗ- ΦΥΛΑΚΩΝΗΣ	
<b>ΑΝΤ. ΠΛΕΙΣΤΟΚΑΙΝΟ</b> -0.18 Μ.α.	ΒΡΟΜΟΛΙΜΝΗ- ΚΟΝΤΑΡΟΥ	ΑΓ.ΑΙΚΑΤΕΡΙΝΗ- ΑΜΥΓΔΑΛΙΕΣ ΚΑΗΜΑ-ΣΚΟΙΝΩΝΗΣ		
<b>ΜΕΔΟ ΠΛΕΙΣΤΟΚΑΙΝΟ</b> -0.8 Μ.α.				ΦΥΛΑΚΩΝΗΣ- ΦΟΥΡΚΟΒΟΥΝΙΟΥ
<b>ΚΑΤΩΤ. ΠΛΕΙΣΤΟΚΑΙΝΟ</b> 2.4 Μ.α.	ΒΡΟΜΟΛΙΜΝΗ- ΚΟΝΤΑΡΟΥ	ΑΓ.ΑΙΚΑΤΕΡΙΝΗ- ΑΜΥΓΔΑΛΙΕΣ	ΑΔΑΜΑΝΤΑ-ΜΑΝΔΡΑΚΙΑ ΚΑΠΡΟΥ-ΑΛΥΚΕΣ ΜΗΛΟΥ ΑΓ.ΑΙΚΑΤΕΡΙΝΗ- ΦΥΛΑΚΩΝΗΣ	
<b>ΑΝΤ. ΠΛΕΙΟΚΑΙΝΟ</b> -3.3 Μ.α.				
<b>ΜΕΔΟ ΠΛΕΙΟΚΑΙΝΟ</b>				
<b>ΚΑΤ. ΠΛΕΙΟΚΑΙΝΟ</b> 7.0 Μ.α.	ΒΡΟΜΟΛΙΜΝΗ- ΚΟΝΤΑΡΟΥ			
<b>ΑΝΤ. ΜΕΙΟΚΑΙΝΟ</b>				

**Εικ. 4:** Οι περίοδοι δραστηριοποίησης των ρηξιγενών ζώνων της Μήλου.

σύνθετη ρηξιγενής ζώνη η οποία έχει δράσει σε διάφορες χρονικές περιόδους και με διαφορετική κάθε φορά δυναμική και κινηματική. Συγκεκριμένα, πριν ή κατά τη διάρκεια του Πλειοκαίνου-Κατώτερου Πλειστοκαίνου τα ρήγματα της ρηξιγενούς ζώνης ταπείνωσαν σημαντικά το βόρειο ρηξιτέμαχος σε σχέση με το νότιο, με αποτέλεσμα την απόθεση του σχηματισμού των Παλαιών τόφφων-τοφφιτών μόνο στο ρηξιτέμαχος των θειωρυχείων. Στη συνέχεια και μετά την απόθεση του πράσινου λαχάρ-χαοτικού Πλειστοκαΐνικού λατυποπαγούς τα ρήγματα της ζώνης επαναδραστηριοποιήθηκαν ταπεινώνοντας το νότιο ρηξιτέμαχος σε σχέση με το βόρειο. Αποτέλεσμα αυτής της κίνησης είναι η παρατηρούμενη σήμερα ταπείνωση της ανώτερης γεωμετρικής επιφάνειας του πράσινου λαχάρ-χαοτικού Πλειστοκαΐνικού λατυποπαγούς στο ρηξιτέμαχος του όρμου Μήλου-Φυριπλάκας κατά 50 τουλάχιστον μέτρα. Η βύθιση αυτής επιβεβαιώνεται και από την απόθεση των λεπτών στρωμάτων από πυροκλαστικά υλικά του Ήφαιστείου της Φυριπλάκας που επεξεργάστηκε η θάλασσα (ηλικίας 0,14 – 0,08 Μ.α.) κατά κύριο λόγο στο ρηξιτέμαχος του Όρμου της Μήλου – Φυριπλάκας.

Ρηξιγενής ζώνη Φυροποτάμου-Φουρκοβουνίου. Η ρηξιγενής ζώνη Φυροποτάμου-Φουρκοβουνίου ευρίσκεται στην NW Χερσόνησο της Ανατολικής Μήλου, αρχίζει από τον κόλπο του Φυροποτάμου και καταλήγει στον όρμο του Φουρκοβουνίου, έχει γενική διεύθυνση SW-NE και διαχωρίζει τις νεοτεκτονικές ενότητες του Τράχηλα προς τα βόρεια και της Πλάκας προς τα νότια (Εικ. 3). Κατά μήκος της παρατηρούνται πολλές μικρές ρηξιγενείς επιφάνειες (κάτοπτρα) με γενική διεύθυνση NE-SW και με μεγάλη κλίση προς τα NW με πλέον χαρακτηριστικές αυτές που υπάρχουν στον κόλπο του Φυροποτάμου. Σε πολλές από τις

επιφάνειες παρατηρούνται γραμμές τεκτονικής ολίσθησης που δείχνουν κίνηση κατά κλίση και με το βόρειο ρηξιτέμαχος να έχει κατέβει σε σχέση με το νότιο, ενώ σε μερικές παρατηρήθηκαν και άλλες γραμμές τεκτονικής ολίσθησης με σημαντική μετατόπιση των εκατέρωθεν ρηξιτεμαχών. Η παρουσία της ρηξιγενούς ζώνης Φουρκοβουνίου-Φυροποτάμου τονίζεται και από: (i) την απότομη διακοπή των εμφανίσεων των πυροκλαστικών αποθέσεων προς τα νότια και την ταυτόχρονη διακοπή των εμφανίσεων των λαβών προς τα βόρεια, από τον κόλπο του Φυροποτάμου μέχρι και την τοποθεσία Λάμαρη, (ii) τις μορφολογικές ασυνέχειες που παρατηρούνται σε όλο το μήκος της και (iii) την τελείωση διαφορετική μορφολογική εικόνα των εκατέρωθεν ρηξιτεμαχών-νεοτεκτονικών ενοτήτων που οριοθετεί. Με βάση τις παρατηρήσεις και τις μετρήσεις στις ρηξιγενείς επιφάνειες αλλά και με βάση άλλα στοιχεία (π.χ. μορφολογία) η ρηξιγενής ζώνη Φυροποτάμου-Φουρκοβουνίου έχει ταπεινώσει τη νεοτεκτονική ενότητα του Τράχηλα σε σχέση με τη νεοτεκτονική ενότητα της Πλάκας τουλάχιστον κατά 100-200 μέτρα, ενώ παράλληλα έχει προκαλέσει και μια οριζόντια αριστερόστροφη μετατόπιση των δύο νεοτεκτονικών ενοτήτων. Από τη συνεκτίμηση πολλών δεδομένων (ηλικία σχηματισμών που τέμνει ή οριοθετεί, κ.ά.) συμπεραίνεται ότι η δράση της ρηξιγενούς ζώνης θα πρέπει να είναι ταυτόχρονη της δράσης του ηφαιστείου του Τράχηλα (0,38 M.a) με μεγάλη πιθανότητα να συνεχίζεται μέχρι και σήμερα.

Ρηξιγενής ζώνη Αδάμαντα-Μανδράκια. Η ρηξιγενής ζώνη Αδάμαντα-Μανδράκια έχει γενική διεύθυνση NNE-SSW και διαχωρίζει τις νεοτεκτονικές ενότητες της Πλάκας δυτικά και του Αδάμαντα ανατολικά (Εικ. 3). Κατά μήκος της ρηξιγενούς ζώνης Αδάμαντα-Μανδράκια και στις τοποθεσίες Μανδράκια και Κατηφόρα παρατηρούνται πολλές μικρές –αλλά σαφείς– παράλληλες κατοπτρικές επιφάνειες με διεύθυνση NNE-SSW και με μεγάλη κλίση προς τα ESE. Πάνω στις κατοπτρικές επιφάνειες υπάρχουν συχνά γραμμές τεκτονικής ολίσθησης που είχαν άλλοτε μεν σημαντική κατακόρυφη συνιστώσα άλλοτε δε σημαντική οριζόντια συνιστώσα. Σε όλο το υπόλοιπο τμήμα της ρηξιγενούς ζώνης δεν παρατηρούνται σαφείς κατοπτρικές επιφάνειες αλλά η ύπαρξή της τονίζεται από άλλα στοιχεία όπως (i) την παρουσία μορφολογικών ασυνεχειών κατά μήκος της, (ii) την τελείωση διαφορετική μορφολογική εικόνα που υπάρχει εκατέρωθεν της και συγκεκριμένα το έντονο ανάγλυφο με σχετικά μεγάλα ύψη στο ρηξιτέμαχος της Πλάκας δυτικά και το ήπιο σχεδόν επίπεδο ανάγλυφο στο ρηξιτέμαχος του Αδάμαντα ανατολικά, (iii) την απότομη διακοπή των εμφανίσεων προς τα δυτικά του πράσινου λαχάρχαστικού Πλειστοκαινικού λατυποπαγούς και των πρόσσφατων πορωδών τόφφων-ψαμμιτών. Ειδικότερα, η εμφάνιση των δύο τελευταίων σχηματισμών μόνο στο ρηξιτέμαχος του Αδάμαντα αποτελεί ένα σημαντικό στοιχείο όχι μόνο για τον καθορισμό της δράσης της ρηξιγενούς ζώνης αλλά και για τον καθορισμό της νεοτεκτονικής εξέλιξης των δύο ενοτήτων. Συγκεκριμένα, η εμφάνιση του πράσινου λαχάρχαστικού Πλειστοκαινικού λατυποπαγούς στο ρηξιτέμαχος του Αδάμαντα και η απουσία ανάλογων εμφανίσεων στο ρηξιτέμαχος της Πλάκας προϋποθέτει σημαντική ταπεινώση του πρώτου ρηξιτεμάχους (που έχει γίνει με την ενεργοποίηση της ρηξιγενούς ζώνης) κατά τη διάρκεια του Κατώτερου-Μέσου Πλειστοκαινού. Στη συνέχεια και κατά το Μέσο Πλειστόκαινο και τα δύο ρηξιτεμάχη βυθίζονται και αποτίθενται οι νέοι τοφφίτες. Κατά το Τυρρήνιο η ρηξιγενής ζώνη ενεργοποιήθηκε πάλι, με αποτέλεσμα τα δύο ρηξιτεμάχη να αποκτήσουν τελείωση διαφορετική θέση, γεγονός που φαίνεται από την απόθεση του σχηματισμού των πορωδών τόφφων-ψαμμιτών μόνο στο ρηξιτέμαχος του Αδάμαντα. Από τη συνεκτίμηση πολλών παραγόντων και κυρίως μορφοδυναμικών το παρατηρούμενο σήμερα συνολικό άλμα της ρηξιγενούς ζώνης του Αδάμαντα-Μανδρακίων είναι της τάξης των 100-150 μέτρων.

**Ρηξιγενής ζώνη Αλυκές Μήλου-Ακρωτήριο Κάπρου.** Η ρηξιγενής ζώνη Αλυκές Μήλου-Ακρωτήριο Κάπρου έχει διεύθυνση NNE-SSW και οριοθετεί τη νεοτεκτονική ενότητα του Αδάμαντα προς τα δυτικά και τις νεοτεκτονικές ενότητες της Φυλακωπής και της Ζεφυρίας ανατολικά. Η ρηξιγενής ζώνη Αλυκές Μήλου-Ακρωτήριο Κάπρου είναι περισσότερο σαφής στο νότιο της τμήμα (δυτικό περιθώριο του τεκτονικού βυθίσματος της Ζεφυρίας) όπου παρατηρούνται πολλές κατοπτρικές επιφάνειες με γενική διεύθυνση NNE-SSW με κλίση προς τα ανατολικά και με γραμμές προστριβής περίπου κατά κλίση. Επίσης η ρηξιγενής ζώνη τονίζεται στο νότιο τμήμα της από τις μεγάλες μορφολογικές ασυνέχειες που υπάρχουν κατά μήκος της, από τις τελείως διαφορετικές μορφολογικές εικόνας στα δύο εκατέρωθεν ρηξιτεμάχη που οριοθετεί και συγκεκριμένα το έντονο ανάγλυφο του ρηξιτεμάχους τους Αδάμαντα αφ' ενός και το επίπεδο ανάγλυφο της πεδιάδας της Ζεφυρίας αφ' ετέρου. Όπως συμπεραίνεται από το πάχος των αλλουβίων στο δυτικό τμήμα της Ζεφυρίας το άλμα των ρηγμάτων στο νότιο τμήμα της ζώνης είναι της τάξης των 100 μέτρων περίπου (κατά τη διάρκεια του Ολοκαίνου, δηλαδή περίπου των 10.000 τελευταίων χρόνων). Αν όμως ληφθεί υπόψη ότι και μετά την αφαίρεση αυτού του άλματος προκύπτει μια διαφορά υψομετρική της τάξης των 50-100 μέτρων της ανώτερης γεωμετρικής επιφάνειας του πράσινου λαχάρ – χαοτικού Πλειστοκαινικού λατυποπαγούς εκατέρωθεν της ρηξιγενούς ζώνης συμπεραίνεται ότι το συνολικό άλμα από το Μέσο Πλειστόκαινο είναι της τάξης των 150-200 μέτρων περίπου. Αντίθετα με το νότιο τμήμα στο βόρειο τμήμα της, η ρηξιγενής ζώνη Αλυκές Μήλου – Ακρωτηρίου Κάπρου δεν είναι τόσο σαφής, τονίζεται όμως από την απότομη διακοπή του σχηματισμού των πρόσφατων πορωδών τόφφων – ψαμμιτών.

**Ρηξιγενής ζώνη Αγίας Αικατερίνης – Φυλακωπής.** Η ρηξιγενής ζώνη Αγίας Αικατερίνης – Φυλακωπής έχει γενική διεύθυνση NNE-SSW και οριοθετεί τις νεοτεκτονικές ενότητες της Ζεφυρίας και της Φυλακωπής προς τα δυτικά και τις νεοτεκτονικές ενότητες των θειωρυχείων και της Κώμιας προς τα ανατολικά (Εικ. 3). Η ρηξιγενής ζώνη Αγίας Αικατερίνης – Φυλακωπής είναι περισσότερο σαφής στο νότιο τμήμα της (ανατολικό περιθώριο του τεκτονικού βυθίσματος της Ζεφυρίας όπου παρατηρούνται ορισμένες κατοπτρικές επιφάνειες με γενική διεύθυνση NNE-SSW με κλίση προς τα δυτικά και με γραμμές προστριβής περίπου κατά κλίση. Κυρίως όμως η ρηξιγενής ζώνη στο νότιο τμήμα της τονίζεται από τις μεγάλες μορφολογικές ασυνέχειες που υπάρχουν κατά μήκος της, από τις τελείως διαφορετικές μορφολογικές εικόνες στα δύο εκατέρωθεν ρηξιτεμάχη που οριοθετεί και συγκεκριμένα το έντονο ανάγλυφο του ρηξιτεμάχους των θειωρυχείων αφ' ενός και το επίπεδο ανάγλυφο του ρηξιτεμάχους της Ζεφυρίας αφ' ετέρου. Όπως συμπεραίνεται από το πάχος των αλλουβίων στο ανατολικό τμήμα της Ζεφυρίας, το άλμα των ρηγμάτων στο νότιο τμήμα της ζώνης είναι της τάξης των 20-30 μέτρων (κατά τη διάρκεια του Ολοκαίνου, δηλαδή των 10.000 τελευταίων χρόνων). Αν όμως ληφθεί υπόψη ότι και μετά την αφαίρεση αυτού του άλματος προκύπτει μια διαφορά υψομετρική της τάξης των 50-100 μέτρων της ανώτερης γεωμετρικής επιφάνειας του πράσινου λαχάρ – χαοτικού Πλειστοκαινικού λατυποπαγούς εκατέρωθεν της ρηξιγενούς ζώνης, συμπεραίνεται ότι το συνολικό άλμα από το Μέσο Πλειστόκαινο είναι της τάξης των 70-130 μέτρων περίπου. Αντίθετα με το νότιο τμήμα στο βόρειο τμήμα η ρηξιγενής ζώνη Αγίας Αικατερίνης - Φυλακωπής δεν είναι τόσο σαφής τονίζεται όμως από την απότομη διακοπή των εμφανίσεων ορισμένων σχηματισμών όπως λαβών, παλαιών τόφφων - τοφφιτών, νέων τοφφιτών και αλλουβίων κατά μήκος της. Τέλος, θα πρέπει να σημειωθεί ότι η ρηξιγενής ζώνη Αγίας Αικατερίνη - φυλακωπής τέμνεται εγκάρσια από τις δύο άλλες ρηξιγενείς ζώνες (i) τη ζώνη Αγίου Ιωάννη Θεολόγου στο ύψος του ρέματος Κουραδή, η οποία ουσιαστικά και οριοθετεί εκατέρωθεν της ανά δύο

ρηξιτεμάχη σε κάθε πλευρά της δηλαδή της Ζεφυρίας και της Φυλακωπής αφ' ενός της Κώμιας και Θειωρυχείων αφ' ετέρου και (ii) τη zώνη Αγίας Αικατερίνης - Αμυγδαλιές στην τοποθεσία Αγία Αικατερίνη η οποία και μεταθέτει με δεξιόστροφη μετακίνηση τη νότια απόληξη της ρηξιγενούς zώνης (δηλαδή της Αγίας Αικατερίνης Φυλακωπής).

Ρηξιγενής zώνη Απολλωνίων – Βουδιών. Η ρηξιγενής zώνη Απολλωνίων – Βουδιών ευρίσκεται στο NE άκρο της Μήλου, έχει διεύθυνση NW-SE και οριοθετεί τη νεοτεκτονική ενόπιτα Κώμιας δυτικά και τη νεοτεκτονική ενόπιτα Απολλωνίων ανατολικά (Εικ. 3). Η ρηξιγενής zώνη Απολλωνίων – Βουδιών διακρίνεται εύκολα από την παρουσία ρηγμάτων με σημαντικά κάτοπτρα ανατολικά των υψηλάτων Καλόγερος και Κορακιά στα οποία όμως δεν υπήρχαν ευδιάκριτες γραμμές προστριβής, πιθανότατα λόγω της εύκολης αποσάθρωσης των λαβών. Η ρηξιγενής zώνη εξ' άλλου τονίζεται (i) από την έντονη μορφολογική ταπείνωση που παρατηρείται στο ρηξιτέμαχος των Απολλωνίων λόγω της βύθισής του, (ii) τις μορφολογικές ασυνέχειες που υπάρχουν κατά μήκος της και (iii) την απότομη διακοπή της συνέχειας των Αλλούσιακών εμφανίσεων του ρηξιτεμάχους των Απολλωνίων. Η δράση των ρηγμάτων της ρηξιγενούς zώνης Απολλωνίων – Βουδίων πιθανότατα είναι Ολοκαινική.

Ρηξιγενής zώνη Αγίας Κυριακής – Παλαιοχωρίου. Η ρηξιγενής zώνη Αγίας Κυριακής – Παλαιοχωρίου ευρίσκεται στη SE Μήλο έχει διεύθυνση περίπου E-W και οριοθετεί τα ρηξιτεμάχη Παλαιοχωρίου (ή νοτιοδυτικών ακτών) προς τα νότια και το ρηξιτέμαχος του όρμου Μήλου – Φυριπλάκας. Η ρηξιγενής zώνη Αγίας Κυριακής – Παλαιοχωρίου δεν έχει μεγάλο κατακόρυφο άλμα και γίνεται αντιληπτή κυρίως από την απότομη διακοπή των εμφανίσεων κατά μήκος της: (i) του μεταμορφωμένου Αλπικού υπόβαθρου προς τα βόρεια, (ii) των λαβών προς τα νότια και (iii) των κύριων εμφανίσεων του πράσινου λαχάρ – χαοτικού Πλειστοκαϊνικού λατυποπαγούς.

Ρηξιγενής zώνη Αγίου Ιωάννη Θεολόγου. Η ρηξιγενής zώνη Αγίου Ιωάννη Θεολόγου έχει διεύθυνση NW-SE και οριοθετεί τις νεοτεκτονικές ενόπιτες της Κώμιας και της Φυλακωπής προς τα βορειοανατολικά και τις νεοτεκτονικές ενόπιτες της Ζεφυρίας και των Θειωρυχείων προς τα νοτιοδυτικά. Η παρουσία δύο ρηξιτέμαχών σε κάθε πλευρά οφείλεται στη διασταύρωση της zώνης με μια άλλη (Αγίας Αικατερίνης – Φυλακωπής), η οποία έχει εγκάρσια διεύθυνση (δηλαδή N-S περίπου). Η ρηξιγενής zώνη Αγίου Ιωάννη Θεολόγου είναι περισσότερο σαφής στη NW απόληξη της όπου οριοθετεί τις νεοτεκτονικές ενόπιτες της Φυλακωπής βόρεια και Ζεφυρίας νότια εξαιτίας της απότομης μορφολογικής κάμψης και της οριοθέτησης των Αλλούσιακών σχηματισμών του τεκτονικού βυθίσματος. Αντίθετα στο υπόλοιπο τμήμα της είναι δυσδιάκριτη και τονίζεται από: (i) την ύπαρξη μικρών κατοπτρικών επιφανειών κατά μήκος της, (ii) την οριοθέτηση προς τα βόρεια του Αλπικού μεταμορφωμένου υποβάθρου το οποίο εμφανίζεται μόνο στο ρηξιτέμαχος των Θειωρυχείων και όχι στο ρηξιτέμαχος της Κώμιας, (iii) την παρουσία εκατέρωθεν της τελείως διαφορετικών μορφολογικών εικόνων, (iv) την παρουσία του πράσινου λαχάρ – χαοτικού Πλειστοκαϊνικού λατυποπαγούς.

## **NEOTEKTONIKEΣ ENOTΗΤΕΣ – ΓΕΝΙΚΗ TEKTONIKΗ ΔΟΜΗ**

Η περιγραφή των κύριων ρηγμάτων, τα οποία οριοθετούν τους σχηματισμούς της Μήλου, η οποία προηγήθηκε, έδειξε τα όρια των σχετικά ενιαίων ρηξιτέμαχών. Τα σύνθετα αυτά ρηξιτέμαχη προδιαγράφουν τις νεοτεκτονικές ενόπιτες της Μήλου κάθε μια από τις οποίες αποτελεί και μια συγκεκριμένη τεκτονική μακροδομή όπως τεκτονικό κέρας, τεκτονική τάφρο με οριζόντια κατακόρυφη ή και περιστροφική μετακίνηση. Οι νεοτεκτονικές ενόπιτες της Μήλου έχουν σημειωθεί στο χάρτη της Εικόνας 1 όπου σημειώνεται με βέλος η επικρατούσα ανοδική

ή καθοδική ή στρεπτική κίνηση. Έτσι υπάρχουν νεοτεκτονικές ενότητες που αποτελούν ένα τεκτονικό κέρας, δηλαδή οριθετούνται από κύρια ρίγματα με κυρίαρχη κατά κλίση συνιστώσα που συνοδικά ανυψώνουν το ρηξιτέμαχος ως προς όλα τα γειτονικά ρηξιτέμαχα. Τέτοιες ενότητες είναι το ρηξιτέμαχος του Προφήτη Ηλία στη νοτιοδυτική Μήλο και το ρηξιτέμαχος της Κώμιας στη βορειοανατολική Μήλο. Αντίθετα, υπάρχουν νεοτεκτονικές ενότητες που αποτελούν τεκτονικές τάφρους, δηλαδή οριθετούνται από κύρια ρίγματα με κυρίαρχη κατά κλίση συνιστώσα που συνοδικά ταπεινώνουν το ρηξιτέμαχος ως προς τα γειτονικά ρηξιτέμαχα. Τέτοιες ενότητες είναι το ρηξιτέμαχος Όρμου Μήλου – Φυριπλάκας και το ρηξιτέμαχος Ζεφυρίας. Ακόμη υπάρχουν νεοτεκτονικές ενότητες οι οποίες οριθετούνται από ρίγματα με κατά κλίση κυρίαρχη συνιστώσα που όμως έχουν σημαντικά διαφορετική κίνηση μεταξύ τους, έτσι ώστε να ανυψώνονται σε σχέση με ορισμένα γειτονικά ρηξιτέμαχα και να ταπεινώνονται σε σχέση με άλλα. Ταυτόχρονα, η διαφορική κίνηση δημιουργεί περίστρεψη προς το σημείο – zώνη της μεγαλύτερης ταπείνωσης. Τα τεκτονικά αυτά ρηξιτέμαχα αντιστοιχούν σε τεκτονικά δίπολα και μπορεί να μέρει να συνυπάρχουν και στα τεκτονικά κέρατα ή τις τεκτονικές τάφρους. Το ρηξιτέμαχος του Αδάμαντα καθώς και των Θειωρυχείων, της Αγίας Μαρίνας και της ΒΔ Μήλου αποτελούν τεκτονικά δίπολα. Τέλος, υπάρχουν ορισμένα κύρια ρίγματα στα οποία δεν επικρατεί η κατά κλίση συνιστώσα αλλά η κατά παράταξη. Στις περιπτώσεις αυτές οι νεοτεκτονικές ενότητες έχουν σύνθετη κινηματική, με περίστρεψη περί κατακόρυφο ή κεκλιμένο άξονα. Τέτοιες ενότητες είναι το ρηξιτέμαχος του Τραχηλά και των ΝΑ ακτών της Μήλου.

Το είδος της τεκτονικής κίνησης σε κάθε νεοτεκτονική ενότητα έχει σαν αποτέλεσμα, εφόσον η κίνηση ήταν σταθερή στα τελευταία 3-4 εκ. χρόνια, την αποκλειστική ύπαρξη ή έλλειψη κάποιου σχηματισμού. Έτσι, στις νεοτεκτονικές ενότητες που αντιστοιχούν σε τεκτονικές τάφρους μπορεί να υπάρχουν σχηματισμοί που δεν αποτέθηκαν στις άλλες ανυψούμενες γειτονικές περιοχές. Τέτοιο παράδειγμα είναι η σημαντική παρουσία αλλούσιων στην ενότητα της Ζεφυρίας και η σχεδόν αποκλειστική ύπαρξη του σχηματισμού των πορωδών τόφφων – ψαμμιτών στην ενότητα του Αδάμαντα. Γενικά, κάθε νεοτεκτονική ενότητα χαρακτηρίζεται από κάποιο συγκεκριμένο σχηματισμό ή συνδυασμό σχηματισμών (Εικ., 1). Έτσι:

α. Η ενότητα της ΒΔ Μήλου χαρακτηρίζεται από την ανάπτυξη του σχηματισμού των νέων τοφφιτών και μάλιστα σε μια επιμήκη zώνη διεύθυνσης E-W παράλληλα και κατά μήκος του νότιου ορίου της, όπως και η φορά περιστροφής της.

β. Η ενότητα Προφήτη Ηλία χαρακτηρίζεται από την ανάπτυξη των ιγνιμβριτών, οι οποίοι τεμαχίζονται τόσο από το βόρειο όσο και από το νότιο όριό της.

γ. Η ενότητα της ΝΔ Μήλου χαρακτηρίζεται από την ανάπτυξη των ιζημάτων του Ανωτέρου Μειοκαίνου πάνω από το μεταμορφωμένο υπόβαθρο.

δ. Η ενότητα Χαλέπιας χαρακτηρίζεται από τις λάβες ηλικίας Κάτω Πλειστοκαινικής, ενώ λείπουν όλοι οι υπόλοιποι σχηματισμοί.

ε. Η ενότητα Όρμου Μήλου – Φυριπλάκας χαρακτηρίζεται από την ανάπτυξη των ηφαιστειακών πετρωμάτων Φυριπλάκας που καλύπτουν τις λαβές και το μεταμορφωμένο υπόβαθρο, ενώ λείπουν οι υπόλοιποι σχηματισμοί και ιδιαίτερα τα ιζήματα του Ανωτέρου Μειοκαίνου.

στ. Η ενότητα Τράχηλα χαρακτηρίζεται από την ανάπτυξη σχεδόν αποκλειστικά των ηφαιστειακών πετρωμάτων του Τράχηλα.

ζ. Η ενότητα Πλάκας χαρακτηρίζεται από την ανάπτυξη των λαβών με μικρές εμφανίσεις των νέων τοφφιτών ενώ λείπουν οι περισσότεροι από τους άλλους σχηματισμούς.

η. Η ενότητα Αδάμαντα χαρακτηρίζεται από την ανάπτυξη των πορωδών τόφφων – ψαμμιτών πάνω από το λαχάρ και τους τόφφους.

θ. Η ενότητα Φυλακωπής χαρακτηρίζεται από την ανάπτυξη του χαοτικού Πλειστοκαινικού λατυποπαγούς – λαχάρ πάνω από τους τόφφους.

ι. Η ενότητα Κώμιας χαρακτηρίζεται από την ανάπτυξη των λαβών και το λαχάρ στα χαμηλότερα υψόμετρα (περίπου 100-120m).

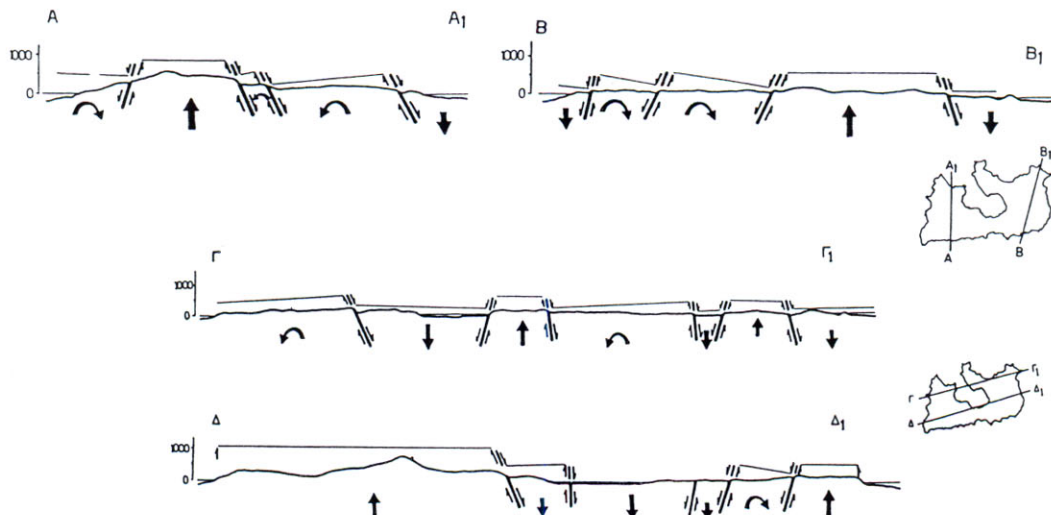
ια. Η ενότητα Ζεφυρίας χαρακτηρίζεται από την αποκλειστική ανάπτυξη των αλλουσιών.

ιβ. Η ενότητα Θειωρυχείων χαρακτηρίζεται από την ανάπτυξη λαχάρ πάνω από τους τόφφους και τις λάβες ενώ το μεταμορφωμένο υπόβαθρο απαντά σε μικρό βάθος.

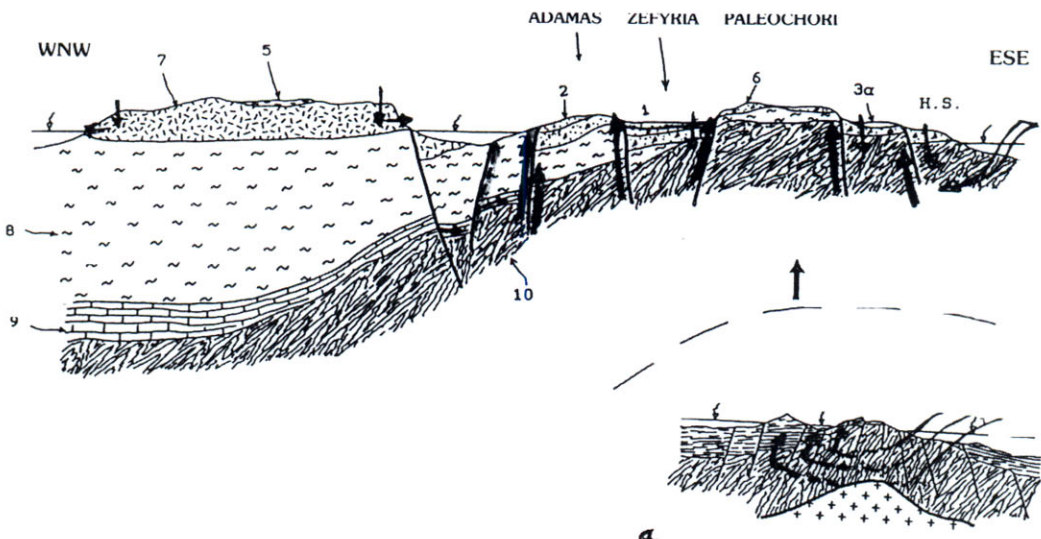
Ας σημειωθεί ότι, εάν ληφθούν υπόψη και οι πλικές των λαβών, τότε δημιουργείται ακόμη μεγαλύτερη ιδιομορφία σε κάθε νεοτεκτονική ενότητα δεδομένου ότι η συνήθης ύπαρξη των λαβών αναλύεται σε τρεις τουλάχιστον υποπεριπτώσεις με διαφορετική πλικά (Πλειστόκαινο, Κατώτερο Πλειστόκαινο, Όριο Κατώτερου – Μέσου Πλειστοκαίνου (FYTIKAS, et al., 1986).

Από τα παραπάνω φαίνεται ότι κάθε νεοτεκτονική ενότητα έχει τη δική της ιδιαίτερη εξέλιξη. Η προκύπουσα συνολική τεκτονική δομή της Μήλου μπορεί να χρακτηρισθεί σαν μια περίπλοκη δομή από ρηξιτεμάχη που διαδέχονται στο χώρο μορφές τεκτονικών τάφρων – κεράτων – διπόλων. Η περιγραφή της συνολικής δομής δεν μπορεί να γίνει σε μια τομή, διότι ο προσανατολισμός των τεκτονικών δομών δεν είναι σταθερός μια και τα κύρια ρήγματα που οριοθετούν τα ρηξιτεμάχη διευθύνονται προς όλες τις διευθύνσεις, δηλαδή, και E-W και N-S και NW-SE και NE-SW.

Έτσι η περιγραφή της συνολικής δομής της Μήλου χρειάζεται συνδυασμό τομών διαφορετικών διευθύνσεων, όπως στην Εικόνα 5. Στις τομές AA<sub>1</sub> και BB<sub>1</sub> που έχουν διεύθυνση περίπου N-S (Εικ. 5) φαίνεται η έλλειψη αντιστοίχους της δομής της Δυτικής Μήλου με τη δομή της Ανατολικής Μήλου. Έτσι, στη Δυτική Μήλο παρατηρείται το τεκτονικό κέρα του Προφήτη Ηλία, το οποίο διαδέχονται κλιμακωτά τόσο προς βορρά όσο και προς νότο τα ρηξιτεμάχη – δίπολα Αγίας Μαρίας, ΒΔ Μήλου και όρμου Μήλου αφενός και ΝΔ Μήλου αφετέρου. Στην ανατολική Μήλο υπάρχει το τεκτονικό κέρας της Κώμιας με κλιμακωτή βύθιση προς νότο και περίστρεψη προς βορά των ρηξιτεμαχών Θειωρυχείων και Φυριπλάκας και με βύθιση του ρηξιτεμάχου Απολλωνίων προς βορρά.



**Εικ. 5:** Γενικές τομές διεύθυνσης περίπου N-S και ENE-WSW της Νήσου Μήλου που δείχνουν τα κύρια ρήγματα που οριοθετούν τα ρηξιτεμάχη και τις κινήσεις τους.



**Εικ. 6:** Γενική τεκτονική τομή της Μήλου και σχηματικό γεωθερμικό πρότυπο (α).

1: Άλλούβια, 2: Πρόσφατοι πορώδεις τόφροι και ψαμμίτες, 3α: τοφφίτες Φυριπλάκας, 5: Νέοι τοφφίτες, 6: Λαχάρ, 7: Κατώτερες Λάθες, 8: Παλαιοί Τοφφίτες, 9: Ασβεστόλιθοι κ.λπ. Ιζήματα Ανώτερου Μειόκαινου – Κατώτερου Πλειόκαινου, 10: Μεταμορφωμένο υπόβαθρο.

Οι τεκτονικές ενόπτεις της Δυτικής Μήλου δε συνεχίζονται στην Ανατολική Μήλο, παρά το γεγονός ότι τα κύρια ρήγματά της έχουν διεύθυνση E-W. Τούτο οφείλεται στην παρεμβολή μεταξύ Ανατολικής και Δυτικής Μήλου του ρηξιτεμάχους του Όρμου Μήλου – Φυριπλάκας, όπου κυριαρχούν τα NW-SE ρήγματα, τα οποία έχουν δημιουργήσει μια τεκτονική τάφρο εντός της οποίες έχει εισχωρήσει η θάλασσα από N-W ενώ στο νοτιοανατολικό της άκρο έχει αναπτυχθεί το πρόσφατο ηφαίστειο της Φυριπλάκας. Στις τομές ΓΤ1 και ΔΔ1 (Εικ. 5) φαίνεται η καθοριστική διάκριση της Μήλου σε Δυτικό και Ανατολικό τμήμα από τα περιθωριακά τμήματα της τάφρου του όρμου Μήλου – Φυριπλάκας. Στη Βόρεια Μήλο η τάφρος του Όρμου Μήλου χωρίζει το ρηξιτέμαχος ΒΔ Μήλου από τη διαδοχή κεράτων – τάφρων της Ανατολικής Μήλου, δηλαδή από το κέρας της Πλάκας, το δίπολο Αδάμαντα, την τάφρο Φυλακωπής, το κέρας Κώμιας και την τάφρο Απολλωνίων. Αντίθετα, στη Νότια Μήλο η τάφρος της Φυριπλάκας χωρίζει το Κέρας του Προφήτη Ηλία δυτικά από την ελαφρά ανυψωμένη τάφρο της Ζευφύριας ανατολικά και το ακόμη ανατολικότερα αναπτυσσόμενο δίπολο των θειωρυχείων και το κέρας της Κώμιας.

Γενικά φαίνεται ότι η τάφρος του όρμου Μήλου – Φυριπλάκας με διεύθυνση NW-SE διακόπτει τη συνέχεια των E-W δομών της Δυτικής Μήλου καθώς επίσης και των κυρίως N-S δομών της Ανατολικής Μήλου. Η όλη εικόνα δείχνει ότι η συνολική δομή δεν είναι το αποτέλεσμα διαδοχικών παραμορφωτικών φάσεων που έδρασαν ενιαία στη Μήλο αλλά μια εκλεκτική γεωγραφικά ενεργοποίηση δομών κατά συγκεκριμένα χρονικά διαστήματα.

## ΤΕΚΤΟΝΙΚΗ ΔΟΜΗ ΚΑΙ ΓΕΩΘΕΡΜΙΚΟ ΠΡΟΤΥΠΟ

Το γεωθερμικό πρότυπο της Μήλου προκύπτει από την γενική τεκτονική του αλπικού υποβάθρου σε συνδυασμό με την περιγραφέσα συνολική νεοτεκτονική δομή, όπως φαίνεται στην αντιπροσωπευτική τομή της Εικόνας 6.

Το κύριο χαρακτηριστικό της δομής, είναι η παρουσία μιας αντικλινικής δομής διεύθυνσης περίπου E-W, η οποία εκφράζεται κυρίως από την εμφάνιση του μεταμορφωμένου υποβάθρου στη νότια-νοτιοανατολική Μήλο, κάτω από την οποία αναπτύσσεται ο μαγματικός θάλαμος.

Το βόρειο σκέλος του αντικλίνου βυθίζεται σε αρνητικά υψόμετρα προς βορρά όπου αποκτούν μεγάλο πάχος οι παλαιοί τοφφίτες, οι οποίες απουσιάζουν στη νότια παράκτια ζώνη. Οι τοφφίτες αυτοί δημιουργούν ένα αδιαπέραστο περιβλημα της δεξαμενής των γεωθερμικών ρευστών που αναπτύσσονται μέσα στις διαρρήξεις των σχιστολίθων του μεταμορφωμένου υποβάθρου.

Η κυκλοφορία των γεωθερμικών ρευστών ευνοείται από την διείσδυση μέχρι τον μαγματικό θάλαμο του θαλασσινού νερού από νότια όπου έχουμε το νότιο σκέλος του αντικλίνου και στη συνέχεια την άνοδο του θερμού νερού στην οροφή του αντικλίνου και στο βόρειο σκέλος του δια μέσου των ρηγμάτων (Εικ. 6α).

Η απευθείας απόθεση του λαχάρ πάνω στο μεταμορφωμένο υπόβαθρο κατά μήκος της κορυφαίας ζώνης του αντικλίνου στη ΝΑ Μήλο – από όπου απουσιάζουν λόγω διάβρωσης ή μη απόθεσης οι αρχαιότεροι πραιτειοιζηματογενείς σχηματισμοί – δείχνει ότι η ανύψωση έγινε στο Ανώτερο Πλειόκαινο – Κάτω Πλειστόκαινο.

## BΙΒΛΙΟΓΡΑΦΙΑ

- ANGELIER, J., CANTAGREL, J.M., VILMINOT, J.C. (1977). Neotectonique cassante et volcanisme plio-quaternaire dans l' arc eggen. Intermē: l' île de Milos (Grece). *Bull. Soc. Geol. France*, 19, 1, 119-124.
- ANGELIER, J. (1979). Neotectonique de l' arc Egeen. *Geol. Soc. Ged. Nord, Publ.* 3, 1-417.
- FYTIKAS, M., GIULIANI, O., INNOCENTI, F., MARINELLI, G., & MAZZUOLI, R. (1986). Geochronological data on recent magmatism of Aegean sea. *Tectonophysics*, 31, 29-34.
- FYTIKAS, M. (1977). Γεωλογική και Γεωθερμική μελέτη της νήσου Μήλου. *Γεωλογικές και Γεωφυσικές έρευνες*, ΙΓΜΕ, XVIII, 1, 228σ.
- FYTROLAKIS, N., & PAPANIKOLAOU, D. (1977). Some new occurrences of quaternary sandstones in the Cyclades and their paleogeographic importance. *Vith Coll. Aegean Region*, Athens 1977, I, 459-467.
- JARRIGE, J. (1988). Etudes neotectoniques dans l' arc volcanique egeen. Les îles de Kos, Santorini et Milos. *These Univ. Paris*, XI, 235p..
- ΛΙΑΤΣΙΚΑΣ, N. (1949). Η γεωλογία της Μήλου. Ι.Γ.Μ.Ε., Έκθεση 91, Αθήνα.
- ΠΑΠΑΝΙΚΟΛΑΟΥ, Δ. 1986. Γεωλογία της Ελλάδας. Εκδόσεις Επτάλοφος, 240σ.
- PAPANIKOLAOU, D. (1988). Structural analysis of the Milos geothermal field. Final synoptic report submitted to PPC. Research Project, University of Athens, 114p.
- PAPANIKOLAOU, D., LEKKAS, E., MIRKOU, M.R. & SYSKAKIS, D. 1990. Geodynamic aspects during early Pliocene in Milos island, Cyclades, Aegean Sea. *Int. Earth Sciences Congress on the Aegean Region (IESCA)*, Izmir 1990, Abstracts p. 237.
- ΣΗΜΑΙΑΚΗΣ, K. (1985). Νεοτεκτονική εξέλιξη της νήσου Μήλου. Αδημοσίευτη έκθεση, ΙΓΜΕ.
- SONDER, R. (1924). Zur Geologie und Petrographie der Inselgruppe von Milos. *Zeits. Vulk. N.* Band 8, 1924-25 Berlin.